
Piégeage et refroidissement laser d'atomes et d'ions appliqués à la spectroscopie haute résolution

Martina Knoop, CNRS/Université d'Aix-Marseille

AER – 2012/13

1

Littérature

- W. Demtröder, “Laser Spectroscopy”, Springer Verlag, Berlin
- Steven Chu, “The manipulation of neutral particles”, *Reviews of Modern Physics* **70**, 685 (1998).
- Claude N. Cohen-Tannoudji, “Manipulating atoms with photons”, *Reviews of Modern Physics* **70**, 707 (1998).
- William D. Phillips, “Laser cooling and trapping of neutral atoms”, *Reviews of Modern Physics* **70**, 721 (1998).
- Claude N. CohenTannoudji and William D. Phillips, “New Mechanisms for Laser Cooling »; *Phys. Today* 43(10), 33 (1990); doi: 10.1063/1.881239
- <http://www.nobel.se>

AER – 2012/13

2

Plan

1. Refroidissement laser
- 2.piège à atomes (mélasses, MOT, fontaines, ...)
- 3.réseaux atomiques, pièges dipolaires
- 4.pièges à ions (Paul, Penning, ..)
- 5.BEC

AER – 2012/13

3

Refroidissement laser

Depuis 1975...

- 1975 Hänsch/Schawlow and Wineland/Dehmelt : possibility of laser cooling
- 1978 First demonstration of laser cooling for trapped ions (Neuhauser et al.; Wineland et al.)
- 1982 First stopping of a thermal beam (Philips & Metcalf)
- 1985 First 3-D cooling (Chu, Hollberg et al.) ↩ 240 μK
- 1987 theory of magneto-optical trap (MOT) (Dalibard et al.)
- 1988 Sub-Doppler cooling (Cohen-Tannoudji et al.) ↩ 40 nK
- 1995 Laser + evaporative cooling (Anderson, Cornell et al.) ↩ 20 nK
-

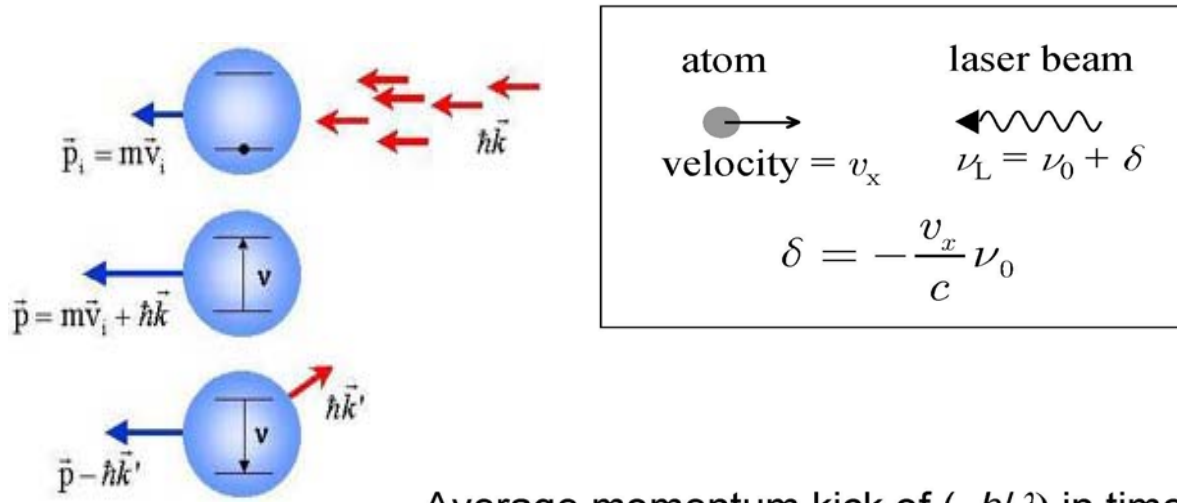
Nobel Prizes

1989 Paul Dehmelt	ion-trap
1997 Chu, Cohen-Tannoudji, Phillips	laser cooling & trapping
2001 Cornell, Ketterle, Wieman	BEC
2005 Glauber, Hall, Hänsch	laser-based precision spectroscopy
2012 Haroche, Wineland	manipulation of individual quantum systems

AER – 2012/13

4

Refroidissement laser



Average momentum kick of $(-h/\lambda)$ in time τ

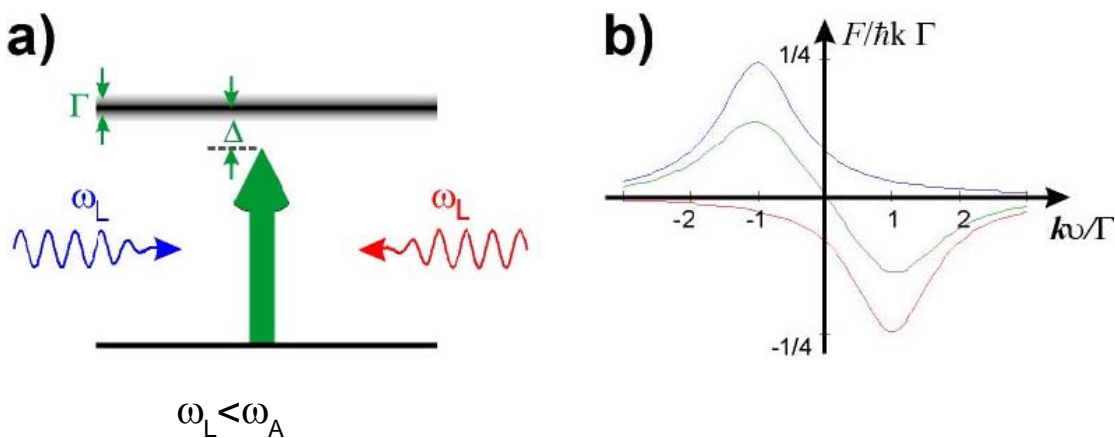
$$F_x = \frac{dp_x}{dt} \sim \frac{\Delta p_x}{\tau} = -\frac{h}{\lambda \tau}$$

<http://archive.nrc-cnrc.gc.ca/eng/projects/inms/fountain-clock.html>

AER – 2012/13

5

Refroidissement Doppler



Force de friction $F = -\alpha V$

$$F(V) = \frac{\hbar k\Gamma}{2} \frac{s_0}{1 + s_0 + 4[\omega_{at} - \omega_L + \mathbf{k}_L \cdot \mathbf{V}]^2/\Gamma^2}$$

AER – 2012/13

6

Refroidissement Doppler - *limites*

- Nombre de cycle absorption-émission afin de freiner l'atome

$$N_{stop} \approx \frac{initial p_x}{\Delta p_x per cycle} \approx \frac{mu_x}{h/\lambda}$$

- le temps nécessaire

$$t_{min} \approx N_{stop} \times 2\tau \approx \frac{mu_x \lambda \tau}{h}$$

- la distance parcourue

$$d_{min} \approx \frac{m \lambda u_x^2}{h}$$

$$k_B T_{min} \sim h \Delta v$$

Température limite Doppler
définie par la largeur naturelle de raie

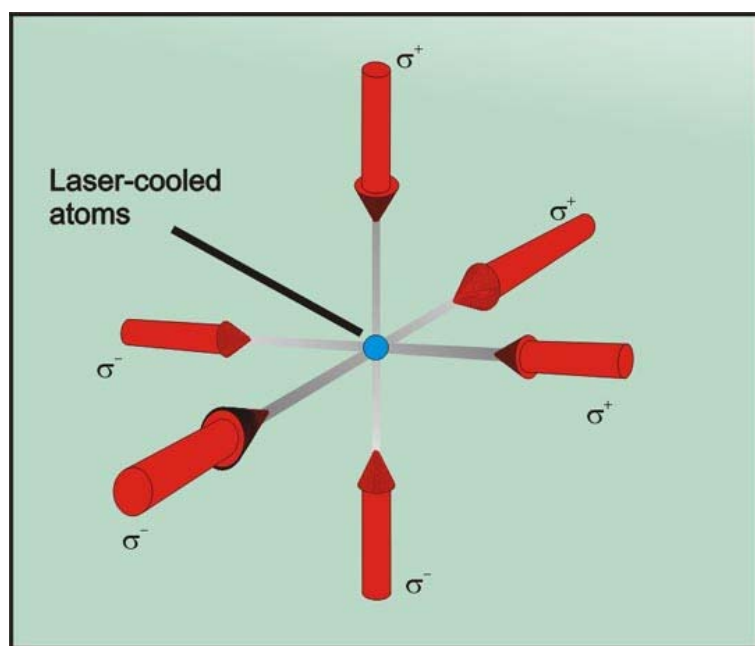
$$T_{min} \approx \frac{\hbar}{2k_B \tau}$$

Facteur 2 de l'émission stimulée

AER – 2012/13

7

Refroidissement Doppler - 3D

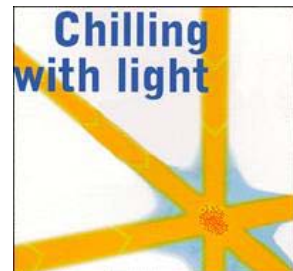


Mélasse optique

AER – 2012/13

8

2. Pièges à atomes

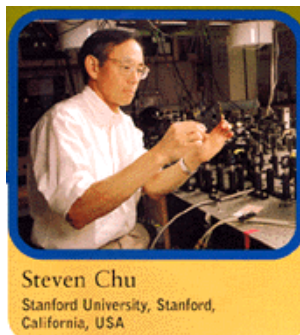


The Nobel Prize in Physics 1997

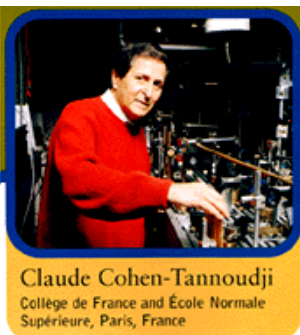
The Royal Swedish Academy of Sciences has awarded the 1997 Nobel Prize in Physics jointly to

Steven Chu, Claude Cohen-Tannoudji and William D. Phillips

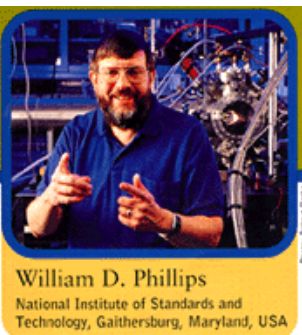
for their developments of methods to cool and trap atoms with laser light.



Steven Chu
Stanford University, Stanford,
California, USA



Claude Cohen-Tannoudji
Collège de France and École Normale
Supérieure, Paris, France

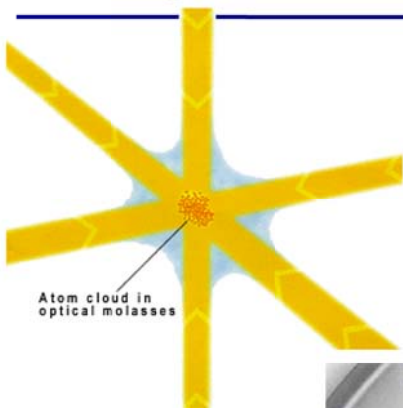


William D. Phillips
National Institute of Standards and
Technology, Gaithersburg, Maryland, USA

9

AER – 2012/13

2. Pièges à atomes – *mélasses optiques*



Atom cloud in
optical molasses



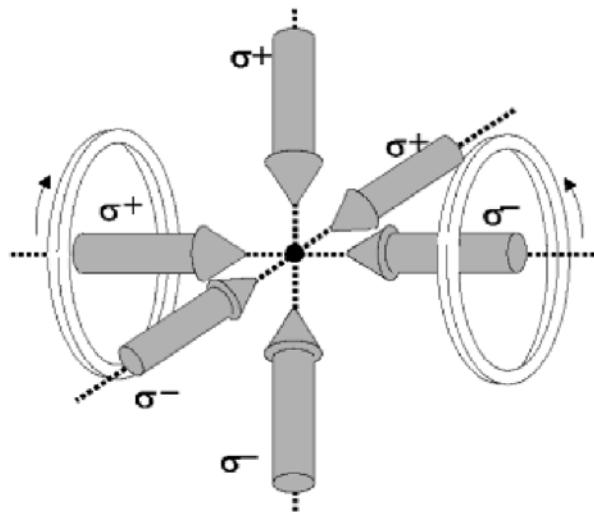
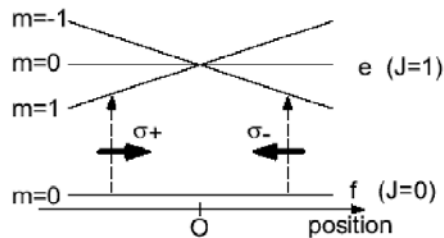
- refroidissement Doppler
(Hänsch et Schawlow 1975,
Wineland et Dehmelt 1975)
- une force visqueuse
- ralentissement et confinement
- $V \sim \text{cm}^3$, fraction de seconde
(100ms)
- $T \approx 200 \mu\text{K}$

S. Chu, Scientific American, 174, 1992

AER – 2012/13

10

2. Pièges à atomes - MOT



$$\mathbf{F} = -\alpha \mathbf{v} - \mathbf{k} \mathbf{r}$$

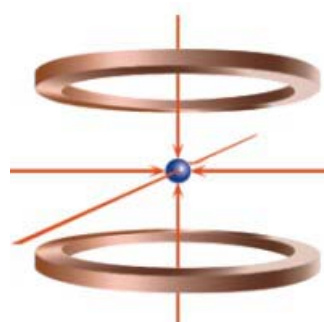
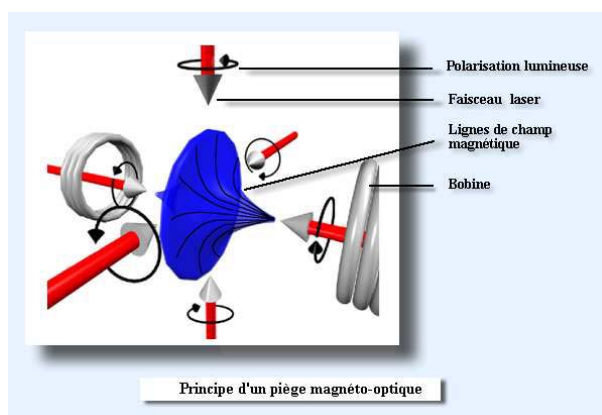
mélasse 3D
effet Doppler

confinement
effet Zeeman

$$b' = 10 \text{ Gauss / cm}$$

$$I = q \text{ mW par faisceau}$$

2. Pièges à atomes - MOT



2. Pièges à atomes - MOT

mesure de la température

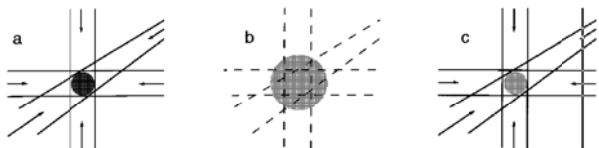
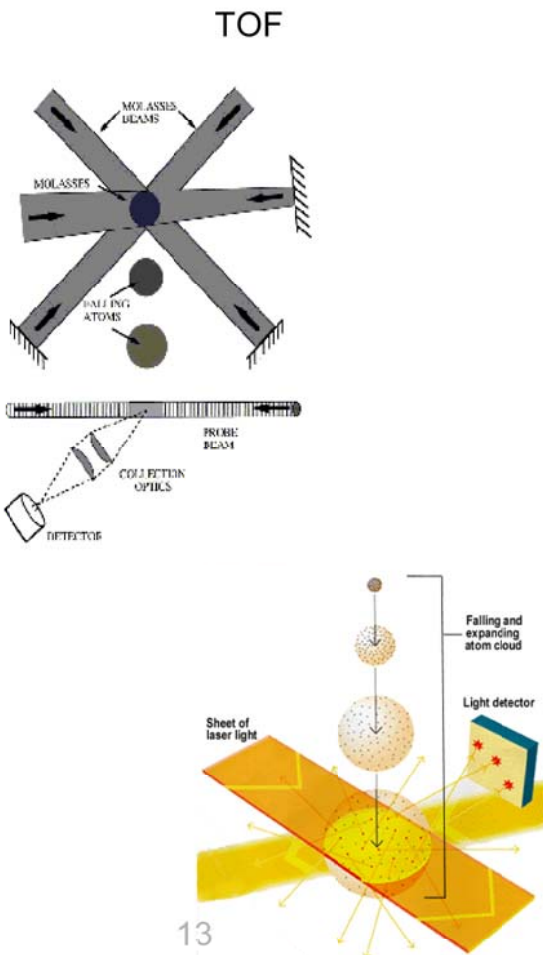
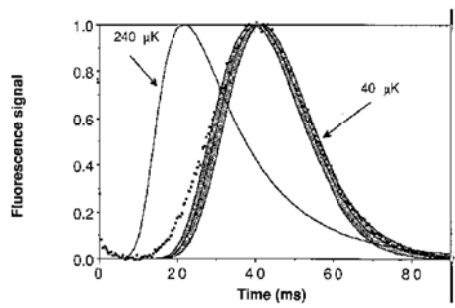


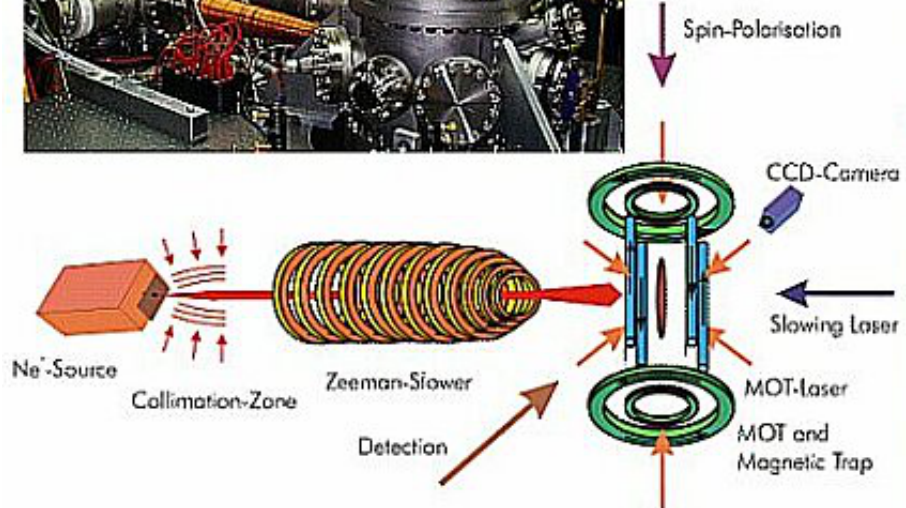
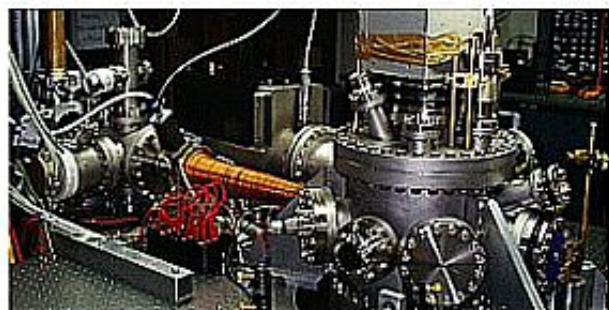
FIG. 13. Release-and-recapture method for temperature measurement.



AER – 2012/13

13

2. Pièges à atomes - MOT



MOT néon, IQO, Hannover

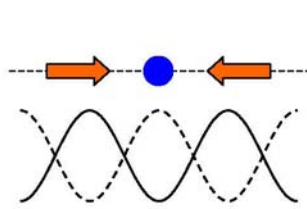


AER – 2012/13

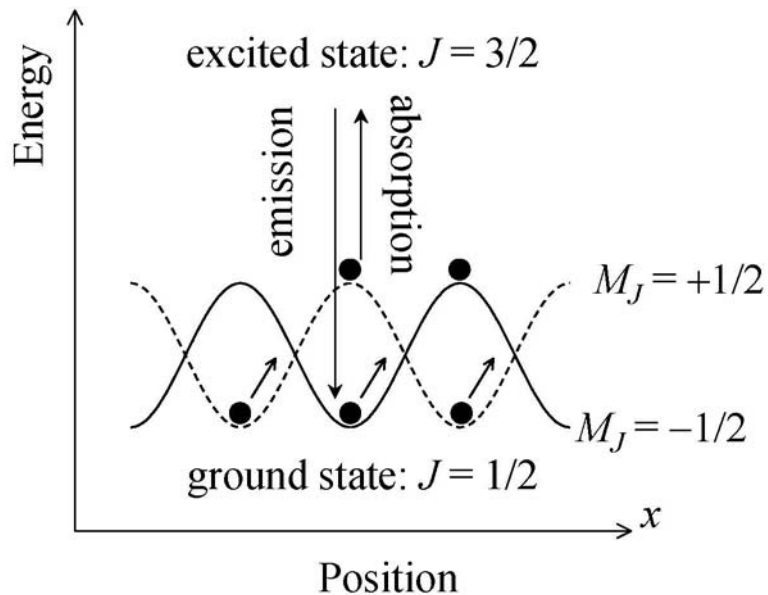
14

2. Pièges à atomes – polarization gradient cooling

Refroidissement Sysiphe



- counter-propagating beams create interference pattern
- Atomic levels shifted by the AC-Stark effect

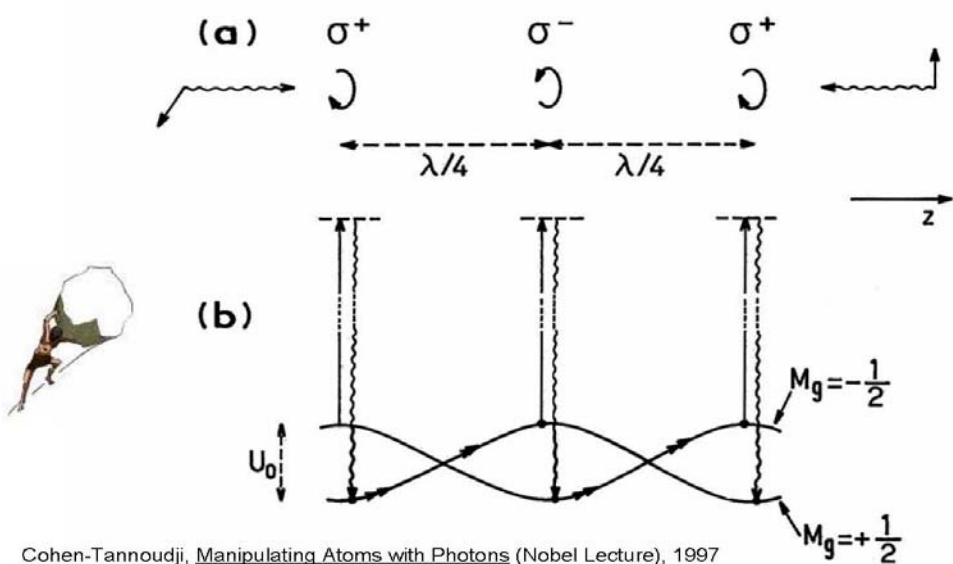


AER – 2012/13

15

2. Pièges à atomes – polarization gradient cooling

Sisyphus Cooling

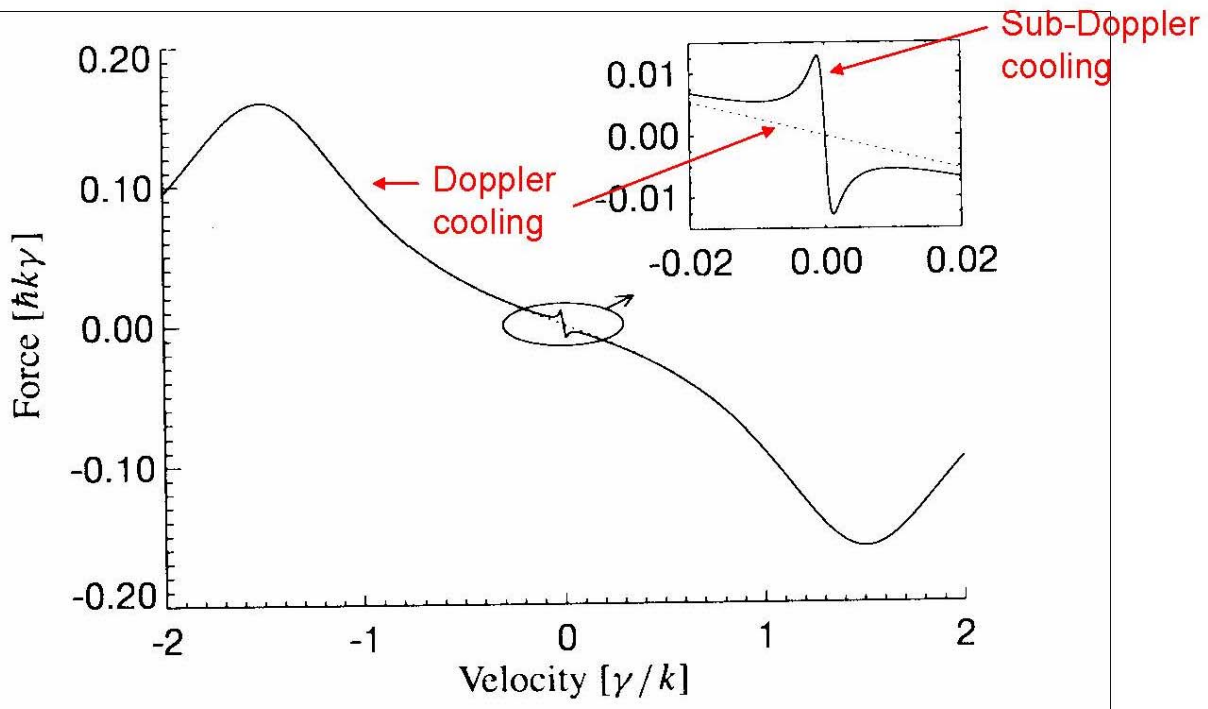


Cohen-Tannoudji, Manipulating Atoms with Photons (Nobel Lecture), 1997

AER – 2012/13

Sous l'effet d'un light shift oscillant

2. Pièges à atomes – polarization gradient cooling



H.J. Metcalf, P. van der Straten, Laser Cooling and Trapping, Springer, 1999

AER – 2012/13

17

3. Réseaux atomiques, pièges dipolaires

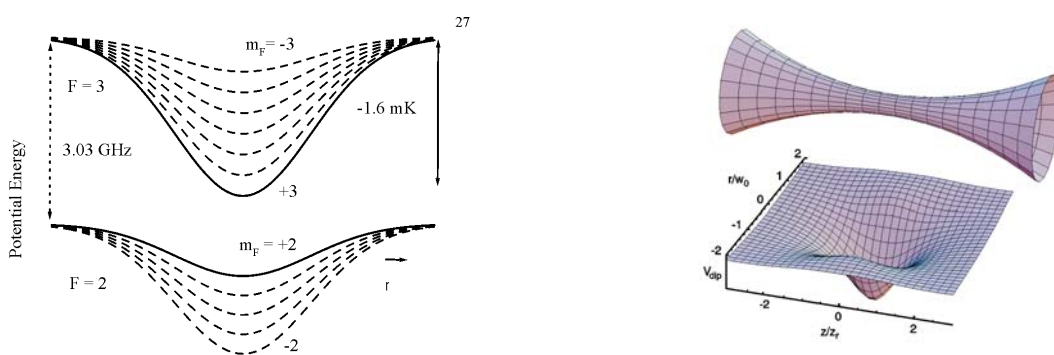


Figure 4.2: AC Stark shift ... in the focus of a circularly polarized Gaussian laser beam for both hyperfine levels in the ${}^1\text{Rb}\ 5/2$ ground state (...) under typical experimental parameters, for $P = 240 \text{ mW}$. Solid lines indicate the spin states toward which the atoms are driven by absorption of the trapping light.

Abbildung 2.9.: Räumliche Verlauf des Dipolpotentials aufgrund des fokussierten Laserstrahls mit $\omega_0 = 3,5 \mu\text{m}$ und $\lambda = 850 \text{ nm}$.

croisement de deux ondes stationnaires

loin de résonance (FORT)
potentiel

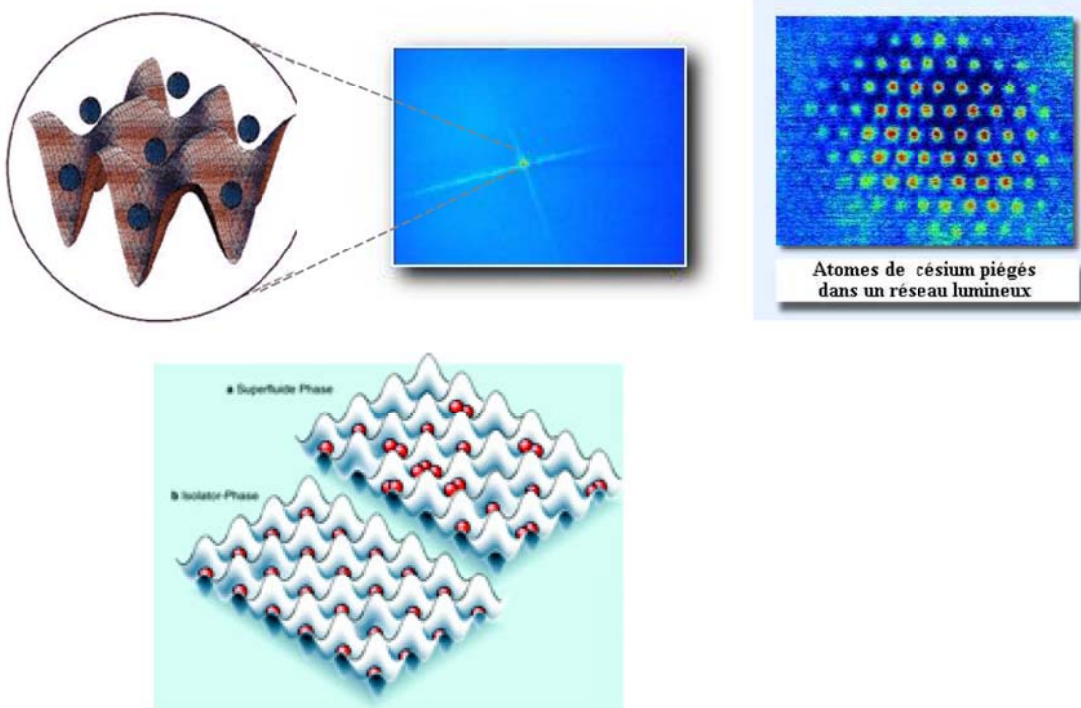
$$U(\rho, z, t) = U_0 \frac{w_0^2}{w(z)^2} \exp^{-\frac{2\rho^2}{w(z)^2}} \cos^2(\pi \Delta v t - kz)$$

avec $\lambda = \frac{2\pi}{k}$, $w(z)^2 = w_0^2 \left(1 + \frac{z^2}{z_0^2}\right)$, et $\Delta v = v_1 - v_2$

AER – 2012/13

18

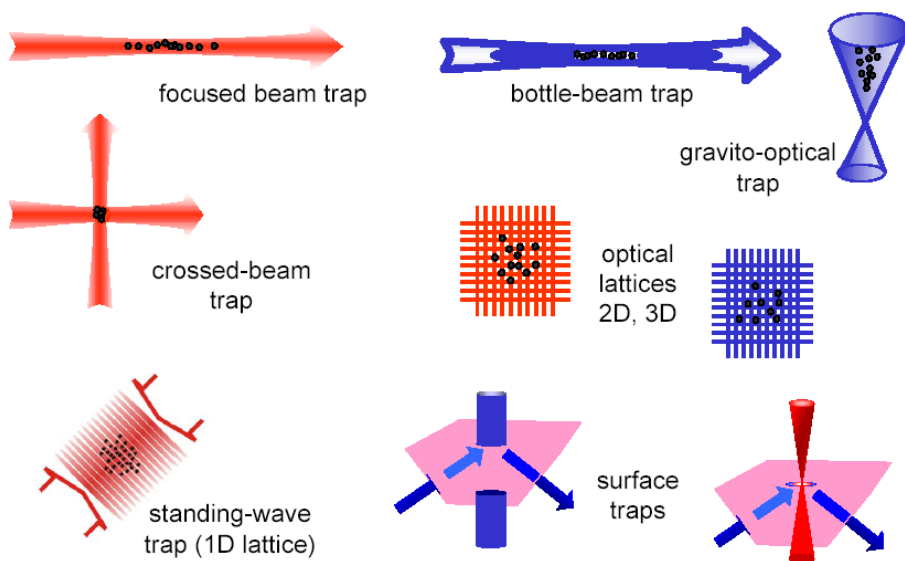
3. Réseaux atomiques, pièges dipolaires



AER – 2012/13

19

3. Réseaux atomiques, pièges dipolaires



extremely versatile tools → many interesting applications !!!

D. Guéry-Odelin

AER – 2012/13

20

4. Pièges à ions

The Nobel Prize in Physics 1989

The Royal Swedish Academy of Sciences has awarded this year's Nobel Prize in Physics for contributions of importance for the development of atomic precision spectroscopy



Hans Dehmelt
University of Washington
Seattle, USA

Wolfgang Paul
Universität Bonn
Federal Republic of
Germany

Norman F. Ramsey
Harvard University
Cambridge, USA

for the development of the
ion trap technique

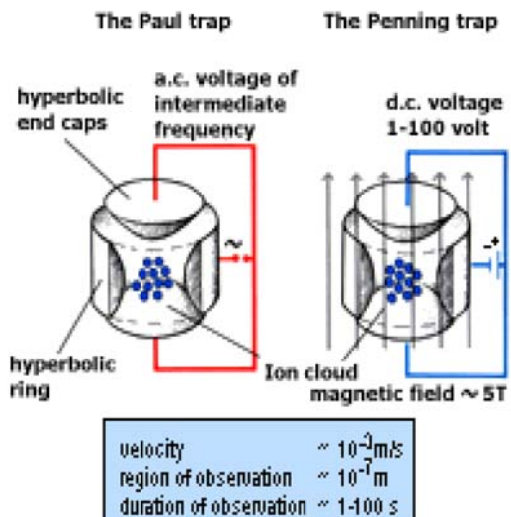
for the invention of the
separated oscillatory
fields method and its
use in the hydrogen
maser and other atomic
clocks

AER – 2012/13

21

4. Pièges à ions

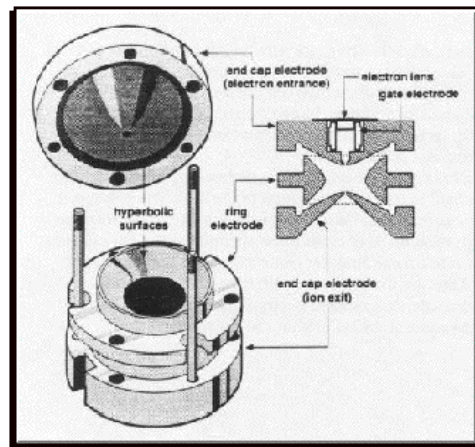
- électrodes métalliques avec application d'un champ
- confinement pendant des durées très longues (des heures...)
- permettant des études de grande précision (*temps d'interactions très grands*)
- sélectivité en e/m



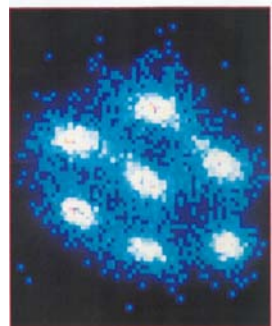
AER – 2012/13

22

Le piège de Paul



spectroscopie haute résolution et métrologie
mesures des durées de vie de niveaux atomiques



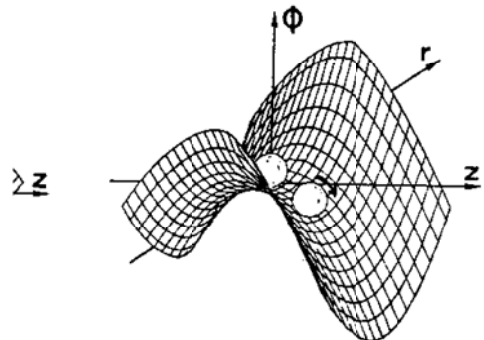
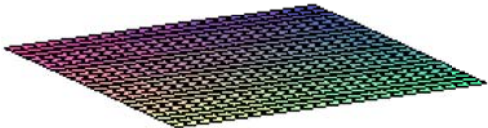
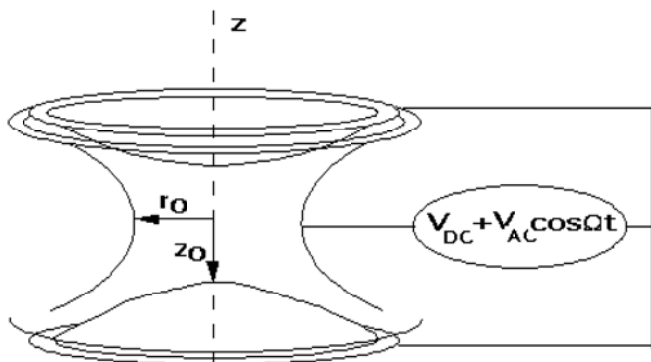
ion unique
sauts quantiques
lumière non classique
transition de phase, cristaux coulombiens et chaînes d'ions
Interférences de deux atomes
états non classiques
portes logiques
mesures de fréquences optiques
sonde nanométrique
...
spectrométrie de masse
outil en chimie structurale
collisions réactives lentes et rapides
analyse qualitative et quantitative et ses applications

AER – 2012/13

23

Le piège de Paul

$$\phi(x,y,z,t) = (V_{DC} + V_{AC} \cos \omega t) \frac{x^2 + y^2 + 2z^2}{2r_0^2}$$



AER – 2012/13

24

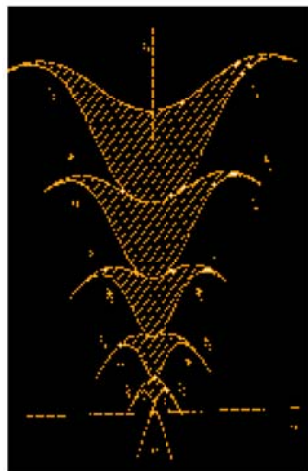
Le piège de Paul

Mouvement d'une particule chargée régi par un système d'équations de Mathieu
(sans interactions avec les autres)

$$u=x,y,z$$

$$\frac{d^2u}{dt^2} + \frac{\Omega^2}{4}(a_u - 2q_u \cos\Omega t)u = 0$$

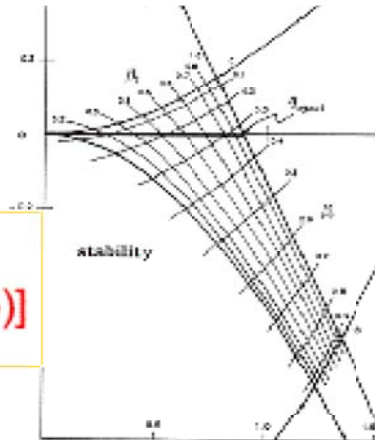
$$a_x = -\frac{a_z}{2} = \frac{8eU_{dc}}{2r\omega^2 m \Omega^2}, \quad q_x = -\frac{q_z}{2} = \frac{4eV_{ac}}{2r\omega^2 m \Omega^2}$$



Les solutions stables sont données par

$$u(t) = u_0 [A_u(t) \cos(\omega_u t + \varphi) + B_u(t) \sin(\omega_u t + \varphi)]$$

$$v_u(t) = u_0 \omega_u [C_u(t) \cos(\omega_u t + \varphi) + D_u(t) \sin(\omega_u t + \varphi)]$$



AER – 2012/13

Mouvement des particules

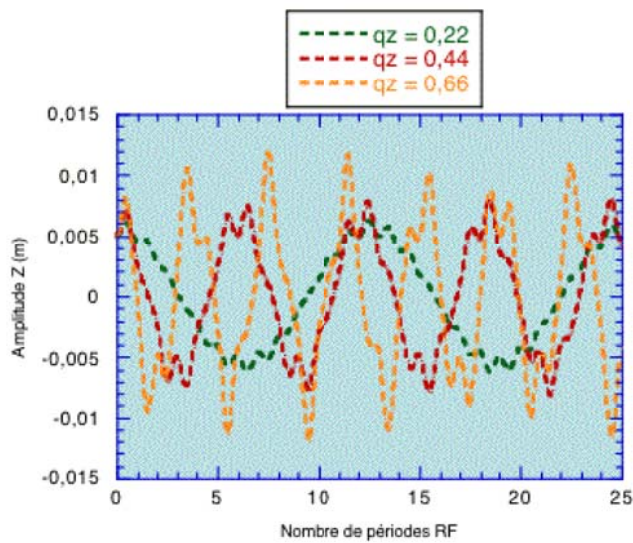
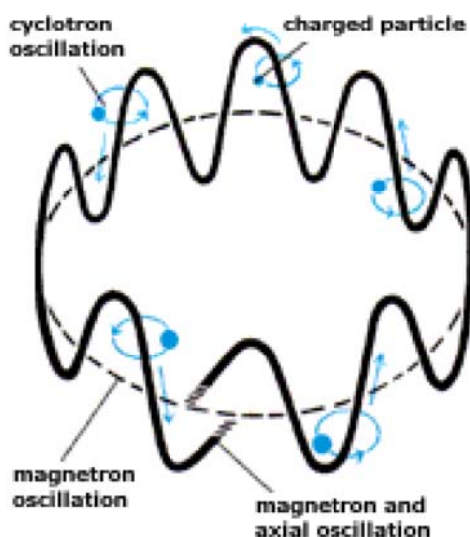
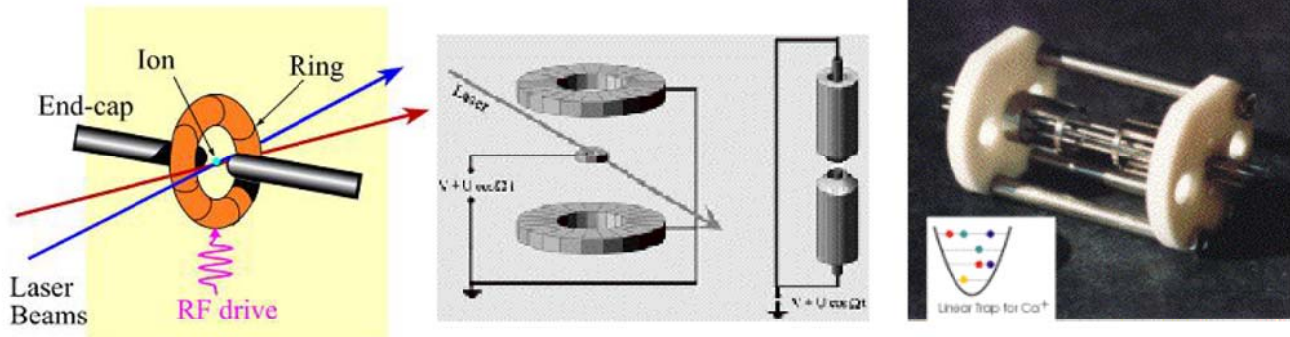


Fig. 9

AER – 2012/13

Le piège de Paul



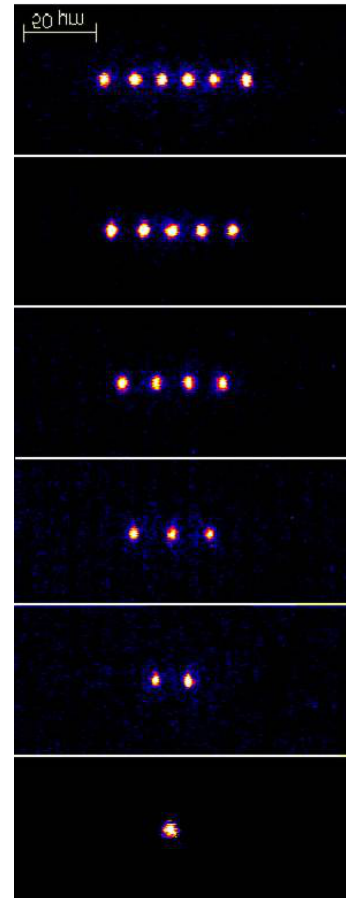
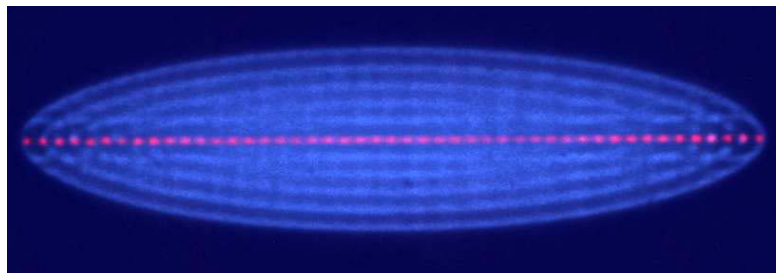
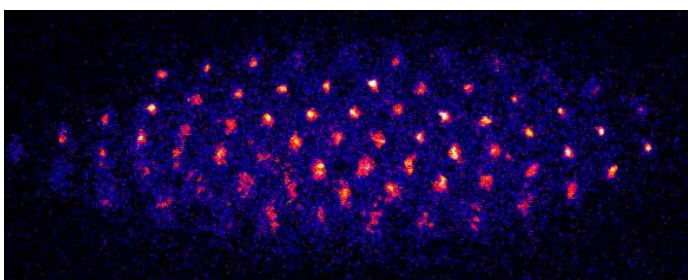
An Ion Trap



AER – 2012/13

27

Des chaînes

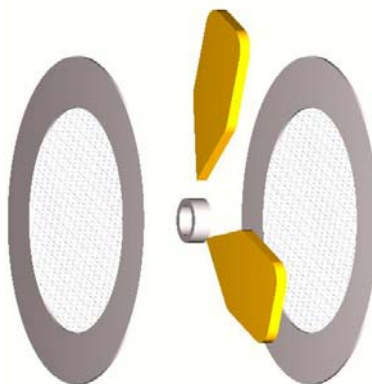
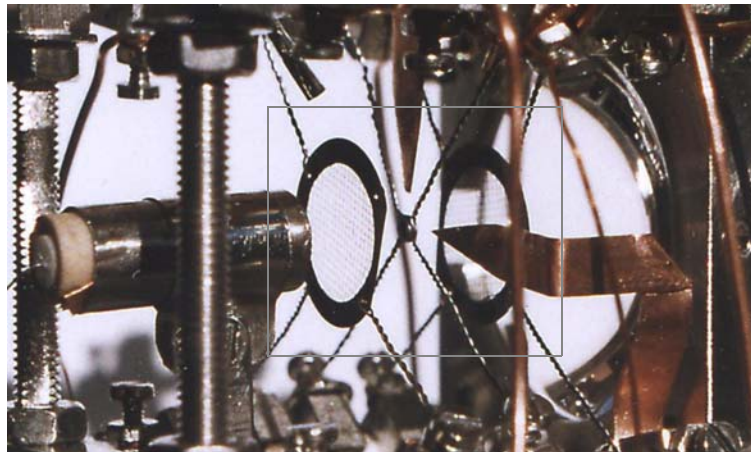


vers un ion unique

AER – 2012/13

28

Le piège miniature



géométrie de *Paul-Straubel*

$r_{\text{int}}=0.7\text{mm}$, $2z_0=0.85\text{mm}$,

en molybdène

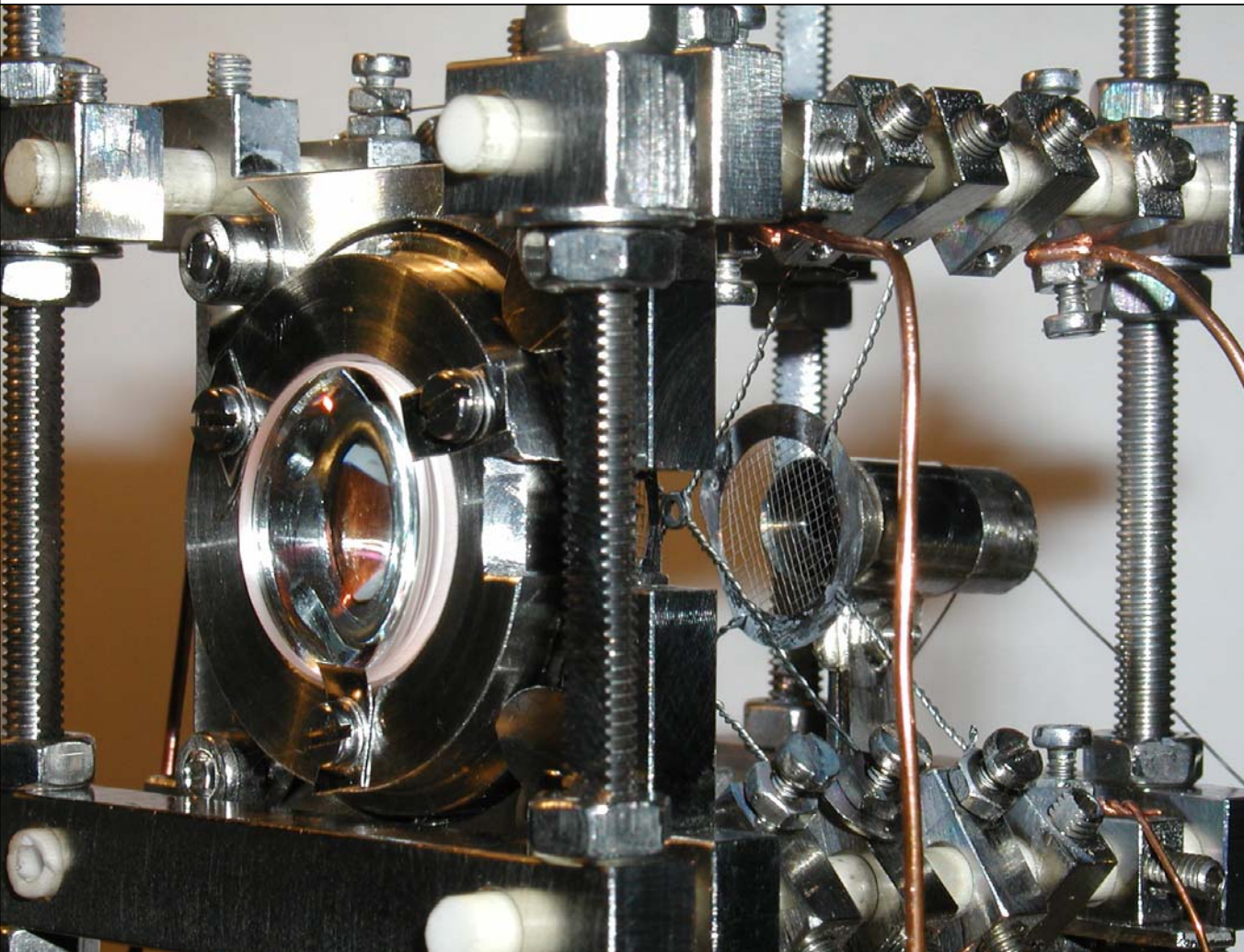
électrodes de compensation en x, y, z (2),

$\Omega \approx 11.7 \text{ MHz}$, $D_{\text{tot}} \approx qq \text{ eV}$

fréquences séculaires de 1 à 2 MHz.

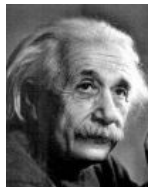
AER – 2012/13

29



5. Condensats de Bose-Einstein

prédit en 1924 par

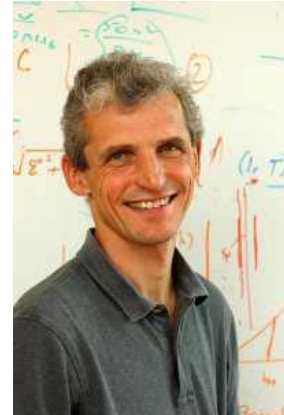


A. Einstein



S. Bose

The Nobel Prize in Physics 2001



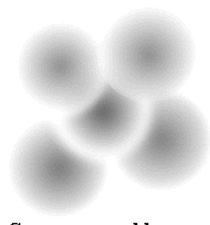
premier condensat (*Rb*) créé
en 1995 au JILA, puis MIT

Eric A. Cornell, Carl E. Wieman, Wolfgang Ketterle

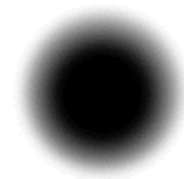
AER – 2012/13

31

5. Condensats de Bose-Einstein



Some very cold atoms



Some atoms in a
BEC condensate

le « principe d'exclusion de Pauli », interdit à deux fermions identiques d'occuper le même état.

$$\text{longueur d'onde de Broglie} \quad \lambda_{dB} = \frac{h}{mv} = \frac{h}{\sqrt{2\pi m k_B T}}$$

$$\text{seuil de condensation} \quad n\lambda_{dB^3} = 2.612$$

n densité de l'espace de phase

p.ex. piège dipolaire 0.001-0.005

AER – 2012/13

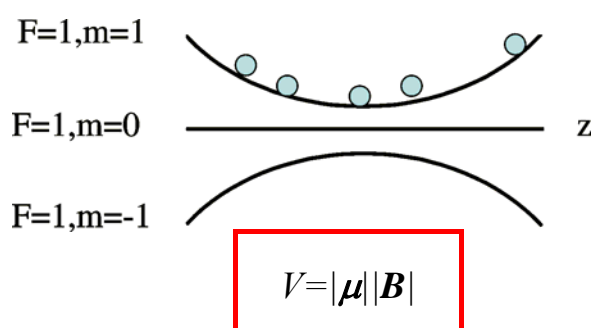
32

5. Condensats de Bose-Einstein

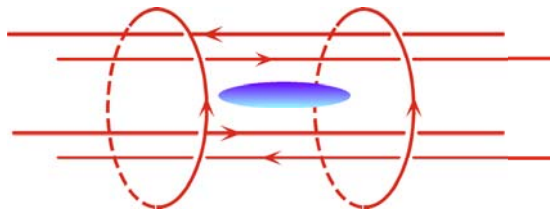
1^{ère} étape : MOT $T = 10 \mu\text{K}$, $N = n\lambda_{dB}$ = et énergie de recul !!

2^{ème} étape: piège magnétique

minimum local de $|B|$ + spin polarisation



p.ex. Ioffe-Pritchard trap, profondeur 1 mK

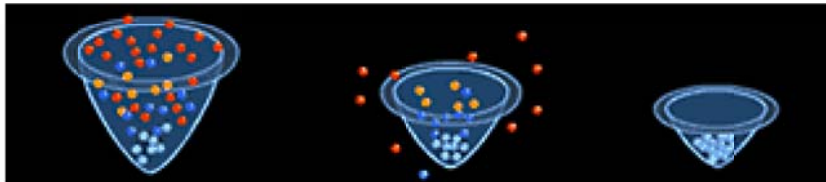


AER – 2012/13

33

5. Condensats de Bose-Einstein

3^{ème} étape: refroidissement évaporatif



redistribution par collisions élastiques

$$\begin{aligned} N_{in} &\sim 10^9 \text{ atoms} & N_f &\sim 10^5 - 10^7 \text{ atoms} & N_f &= N_{in}/100 \\ T_{in} &\sim 100 \mu\text{K} & T_f &\sim 1 \mu\text{K} - 500 \mu\text{K} & T_f &= T_{in}/1000 \end{aligned}$$

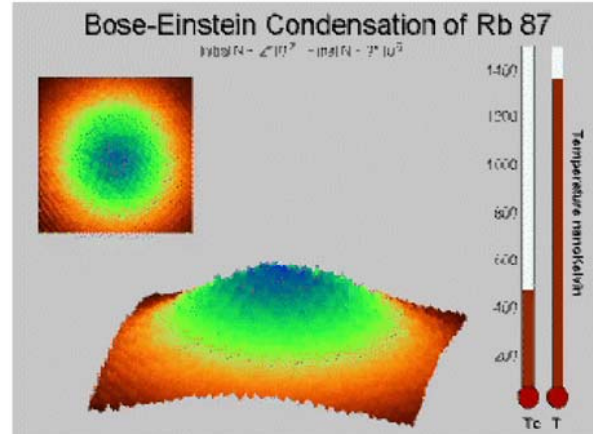
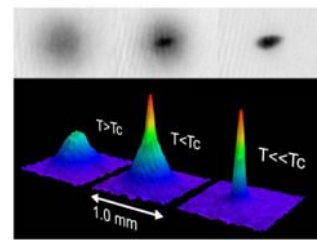
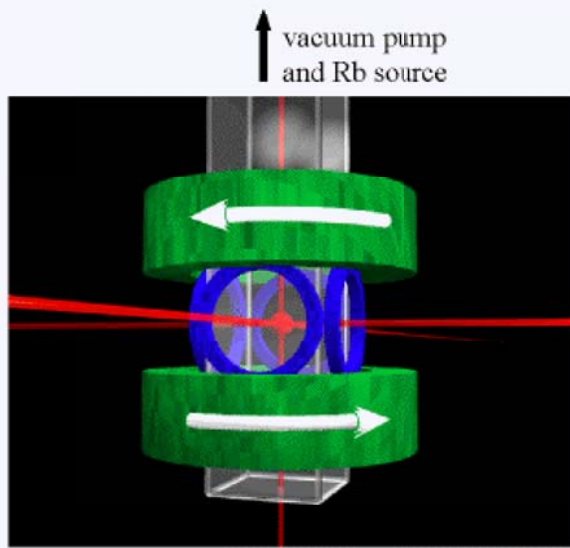
$\Rightarrow n\lambda^3 \times 10^7 !!!$ quelques dizaines de secondes

AER – 2012/13

34

5. Condensats de Bose-Einstein

BEC Apparatus

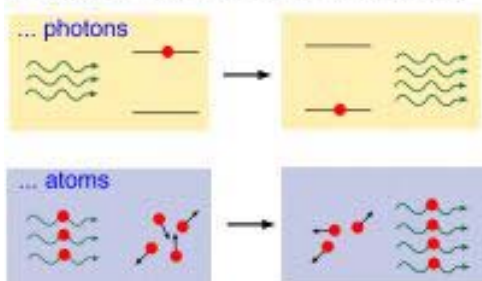


AER – 2012/13

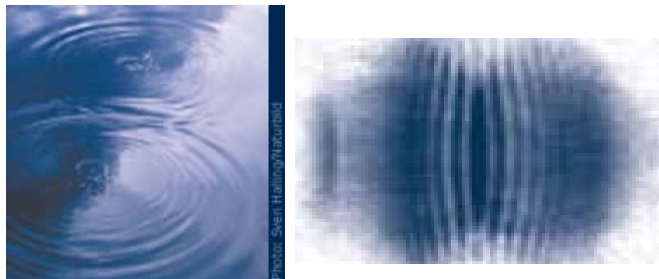
35

5. Condensats de Bose-Einstein

Stimulated emission/scattering of ...



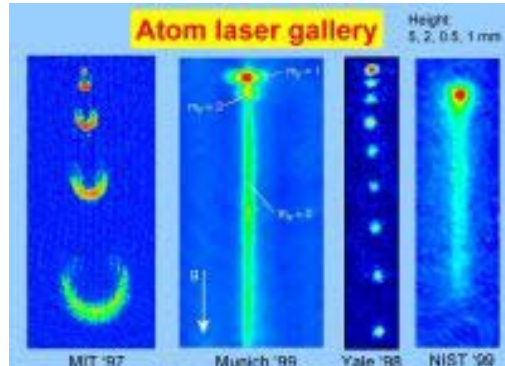
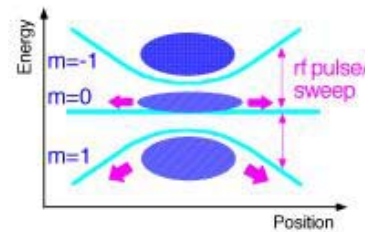
interférences



le laser à atomes

An rf output coupler: $F=1$

$$|BEC\rangle = (|m=-1\rangle)^N \rightarrow (\alpha |m=-1\rangle + \beta |m=0\rangle + \gamma |m=1\rangle)^N$$



AER – 2012/13

36

Applications

- horloges atomiques
- ondes cohérentes de matière (laser à atomes)
- recherche fondamentale

Synthèse

types	τ_{trap}	N	T_{limite}	$\delta v/v$
cellules		10^{19} m^{-3}	300K	10^{-8}
piège rf	> h	1	mK + LD	$< 10^{-18}$
Penning	> h		mK	10^{-6}
mélasses optiques	< 100 ms		qq 100 μ K	10^{-8}
MOT	qq s	10^9	10 μ K	10^{-8}
fontaines	1s	10^8	100 μ K	10^{-16}
réseaux atomiques	s	10^8	μ K	$< 10^{-12}$
BEC	s	3.10^7	500 pK	??